

на начальном этапе этого взаимодействия намагниченность составляет с осью  $z$  угол  $\theta$ , больший  $\frac{\pi}{2}$ , оно сводится к уменьшению  $\theta$  и увеличению поперечной намагниченности, т.е. возрастанию сигнала эха. Из-за большого значения коэффициента усиления такие углы достижимы и при малых значениях амплитуды возбуждающего поля. Из приведенных простых соображений видно, что ПК может усиливать сигналы эха в магнетиках, в то время как в парамагнетиках из-за большой величины  $T_R$  контур не взаимодействует с намагниченностью в экспериментах по спиновому эхо [7].

Суммируя, можно сказать, что такие черты наблюдаемого усиления сигналов эха, как: 1) резонансный по настройке ПК характер; 2) уменьшение эффекта при повышении температуры (увеличении  $T_R$  из-за уменьшения  $m_o$ ) свидетельствуют о том, что усиление сигналов эха при включении ПК является результатом стимулированного излучения ядерными моментами.

#### Список литературы

- [1] Bösig er P., Brunn E., Meier D. // Phys. Rev. A. 1978. V. 18. N 2. P. 671-684.
- [2] Абрагам А. Ядерный магнетизм. М.: ИЛ, 1963, гл. 3. 552 с.
- [3] Киселев Ю.Ф., Прудкогляд А.Ф., Шумовский А.С., Юкалов В.И. // ЖЭТФ. 1988. Т. 94. В. 2. С. 344-349.
- [4] Куркин М.И., Сериков В.В. // ФТТ. 1970. Т. 12. С. 3524-3529.
- [5] Bancroft M.H. // Phys. Rev. B. 1970. V. 2. N 1. P. 182-188.
- [6] Померанцев Н.М., Рыжков В.Н., Скроцкий Г.В. Физические основы квантовой магнитометрии. М.: Наука, 1972.
- [7] Bloemberger N., Pound R.V. // Phys. Rev. 1954. V. 95. P. 8-15.

Поступило в Редакцию  
10 февраля 1989 г.

Письма в ЖТФ, том 15, вып. 10                    26 мая 1989 г.

07; 12

КОМПЬЮТЕРНЫЙ ПОЛЯРИЗАЦИОННЫЙ МИКРОСКОП

В.П. Тычинский, А.В. Тавров

Предложен и реализован новый модуляционный метод получения поляризационно-контрастного изображения прозрачных микрообъектов

тов. Показана принципиальная возможность получения более высокого латерального разрешения, чем в обычных микроскопах.

## Введение

Известные [1, 2] поляризационно-чувствительные приборы в соответствии с их назначением можно разделить по пространственно-му разрешению на два больших класса: одноточечные эллипсометры различных систем и поляризационные микроскопы (ПМ). В отличие от эллипсометров, которые позволяют с высокой точностью определять двулучепреломление  $\delta$  и азимут  $\theta$  анизотропной структуры, ПМ широко используются для качественных исследований биологических объектов, магнитно-активных пленок, кристаллических структур [3, 4], световолокон [5] и т.д.

В связи с успешным развитием компьютерных методов анализа микроизображения и появлением нового типа микроскопов – фазовых, конфокальных, дифференциальных [6, 7], обладающих высоким латеральным разрешением, представляет практический интерес анализ перспектив создания компьютерных поляризационных микроскопов (КПМ).

С помощью КПМ может быть получена количественная информация о двухмерных „портретах“ анизотропных объектов, в том числе элементов интегральной оптики, полупроводниковых структур, видеодисков. Для этой цели в КПМ (в отличие от классической эллипсометрии [2]) можно ограничиться измерением одной величины, зависящей известным образом от  $\delta$  и  $\theta$ , если она с достаточным контрастом будет отражать характерную для объекта пространственную структуру.

Наиболее распространены по известным причинам модуляционные методы. В этих методах переменная составляющая фототока содержит в амплитуде  $A$  и фазе  $\Psi$  информацию  $\delta$  и  $\theta$ . Даже если ограничиться только измерением фазы  $\Psi$ , можно получить изображение в виде некоторой комбинации  $\delta$  и  $\theta$  с пространственным разрешением более высоким, чем для амплитудных объектов.

Целью настоящего сообщения является обоснование компьютерного метода получения поляризационного изображения с высоким пространственным разрешением и обсуждение результатов предварительных экспериментов.

## Анализ структурной схемы КПМ

Рассмотрим блок-схему модуляционного КПМ, приведенную на рис. 1, где 1 – гелий-неоновый лазер, 2 – ячейка Поккельса, 3 – конденсор, 4 – анизотропный прозрачный объект, 5 – микроявобъектив, 6 – анализатор, 7 – координатно-чувствительный фотоприемник (диссектор), 8 – электронный блок, 9 – ЭВМ.

В этой схеме излучение лазера с линейной поляризацией  $E_1$  проходит последовательно через модулятор с матрицей передачи  $A(H)$ , объект  $\delta(\theta, \delta)$  и анализатор  $\beta$ . Интенсивность света  $I(x, y, t)$

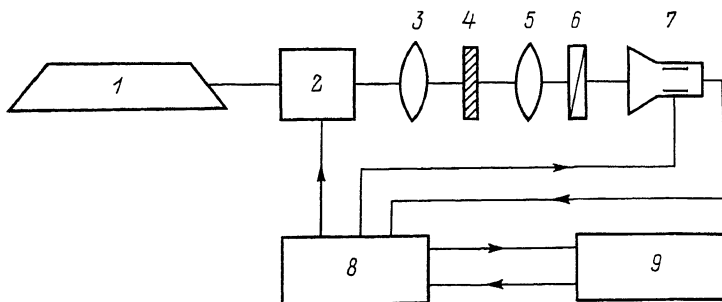


Рис. 1.

в точке с координатами объекта  $x, y$  связана с характеристиками элементов оптической схемы известными соотношениями:

$$\begin{aligned} I(x, y, t) &= \frac{1}{2} |E_o(x, y, t)|^2, \\ \hat{E}_o(x, y, t) &= \hat{\rho} \cdot \hat{\theta}(x, y) \hat{M}(t) \hat{E}_i. \end{aligned} \quad (1)$$

В переменной составляющей фототока

$$I(x, y, t) \sim \left\{ 1 - A(x, y) \sin[\beta t - \Psi(x, y) + \psi_0] \right\} \quad (2)$$

для  $\hat{M}(t) \hat{E}_i = \frac{1}{\sqrt{2}} |e^{i\beta t}|$  объектная информация содержится в амплитуде  $A(x, y)$  и фазе  $\Psi(x, y)$ . Мы в дальнейшем ограничимся только информацией, содержащейся в  $\Psi(x, y)$ , поскольку измерения амплитуды менее надежны и зависят от ряда трудно контролируемых факторов.

Измерения фазы в описываемом КПМ производились методом временного интервала [8], согласно которому локальное значение фазы  $\Psi(x, y)$  пропорционально длительности стандартных импульсов, формируемых по нулевым значениям переменной составляющей фототока. Можно показать, что измеряемые значения  $\Psi(x, y)$  связаны с двулучепреломлением объекта  $\delta(x, y)$  и азимутом анизотропной структуры  $\theta(x, y)$  соотношением

$$\operatorname{tg} \Psi(x, y) = \cos 2\theta(x, y) \operatorname{tg} \frac{\delta(x, y)}{2}. \quad (3)$$

Получаемый указанным методом поляризационный „портрет“ объекта неоднозначно характеризует распределение  $\theta(x, y)$  и  $\delta(x, y)$ , но позволяет легко отождествить и измерить координаты анизотропных структур. При  $\theta(x, y) \approx \pi/4$  и малых  $\delta(x, y)$  из (3) следует, что в „портрет“ основной вклад дает двулучепреломление

$$\Psi(x, y) \sim \delta(x, y). \quad (4)$$

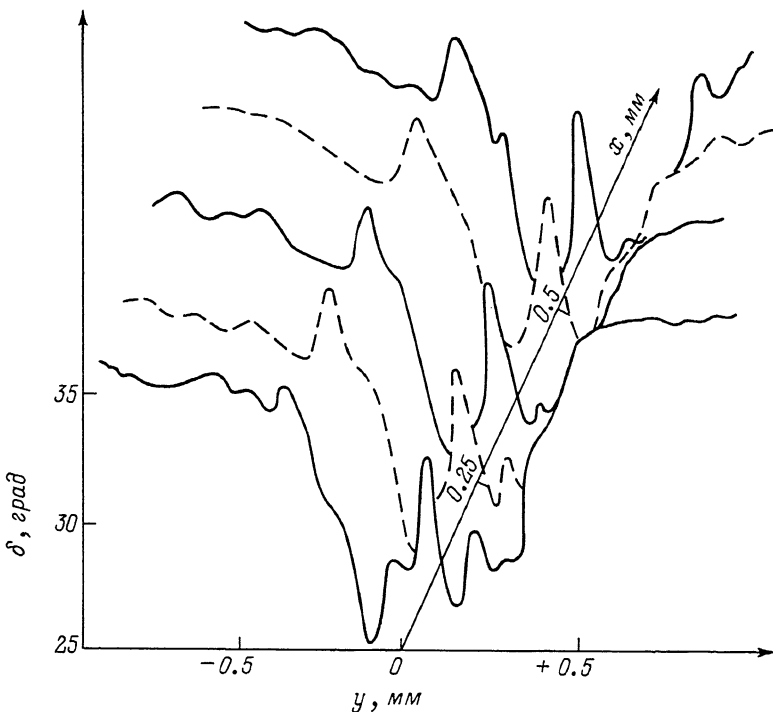


Рис. 2.

### Эксперимент

В описываемом ниже КПМ использовался стандартный микроскоп с  $40\times$  объективом, гелий-неоновый лазер ОКГ-13, диссектор ЛИ-604А и ЭВМ „Электроника-60“. Периодическое изменение поляризации осуществлялось с помощью модулятора МЛ-201 с удаленным выходным анализатором. Управление модулятором и диссектором, а также формирование временных интервалов, производилось с помощью электронного блока. Топограмма двумерного массива  $\Psi(x,y)$  с размерностью  $64 \times 64$  пиксела отображалась на экране монитора или в виде стереопроекции на экране осциллографа. Один из результатов измерений анизотропного синтетического волокна приведен на рис. 2, где  $y$  – поперечная,  $x$  – продольная координаты (мм),  $\delta$  – угол анизотропии  $\delta = (n_o - n_e) \frac{2\pi d}{\lambda}$  (град),  $d$  – толщина образца.

Из рис. 2 видно характерное изменение анизотропии в поперечном сечении нити и непостоянство ее вдоль координаты.

Пе́рспекти́вы усовершено́ствования  
КПМ и возможные области  
применения

Использование в КПМ более современной элементной базы позволит значительно поднять увеличение микроскопа и улучшить отношение сигнал/шум, которое в описываемых экспериментах было порядка 10. Уже сейчас может быть создан прибор, пригодный для ряда технических применений и биофизических исследований. Одно из его перспективных применений – исследования субмикронных топологических полупроводниковых структур, в которых эффективная анизотропия возникает при дифракции на объекте. Другая интересная область применений КПМ – прижизненная микроскопия биологических объектов. Возможность изменения размеров области сканирования и временного анализа в произвольной точке позволяет исследовать периодические и релаксационные процессы, сопутствующие жизнедеятельности на клеточном уровне.

В связи с этими замечаниями остановимся кратко на возможности реализации в КПМ сверхрелеевского латерального разрешения при исследовании анизотропных объектов. Пусть  $\hat{\psi}_+ (+d/2)$  и  $\hat{\psi}_- (-d/2)$ -значения поляризационной матрицы объекта в двух близких точках на расстоянии  $d$  по оси  $x$ . Поле волны в плоскости такого объекта можно представить в виде

$$E_o(x_o) = (1+\mu)e^{j\psi_+}\delta(x_o - d/2) + (1-\mu)e^{j\psi_-}\delta(x_o + d/2), \quad (5)$$

где  $\mu \ll 1$ ,  $\delta$  – дельта-функция.

Изображение этих точечных объектов оптической системой с единичным увеличением и аппаратной функцией  $\rho(x)$  дается интегралом свертки [9]

$$\begin{aligned} \bar{E}(x)e^{j\bar{\psi}(x)} &= \int_{-\infty}^{\infty} E_o(x_o)\rho(x-x_o)dx_o = (1+\mu)e^{j\psi_+} \\ &+ \rho(u_+) + (1-\mu)e^{j\psi_-} - \rho(u_-), \end{aligned} \quad (6)$$

где  $\rho(u) = \frac{2J_1(u)}{u}$  – аппаратная функция объектива,  $u = \frac{2\pi ax}{\lambda F}$  – безразмерная координата,  $u_+ = u_+ \frac{u_d}{2}$ ,  $u_d = \frac{2\pi ad}{\lambda F}$ ,  $a/F$  – числовая апертура объектива. Критерию Релея соответствует  $u_d = 3.83$ , при котором  $a_p = 0.61 \lambda F/a$ .

При уменьшении расстояния  $d$  и когерентном освещении объекта вследствие интерференции возникает искажение изображения. Количественной характеристикой искажения изображения может служить функция поляризационного контраста  $k_\varphi(u_d)$ , которую определяем соотношением

$$k_\varphi(u_d) = [\bar{\psi}(+d/2) - \bar{\psi}(-d/2)] [\psi_+ - \psi_-]^{-1}. \quad (7)$$

Из (7) видно, что для  $u_d \gg 1$   $k_\psi = 1$  и при  $u_d \rightarrow 0$   $k_\psi(0) = 0$ . Используя (6), из (7) можно получить в явном виде функцию поляризационного контраста

$$k_\psi(u_d) = [1 - \rho^2(u_d)] \left[ 1 + \rho^2(u_d) + 2\rho(u_d) \frac{1+\mu^2}{1-\mu^2} \right]^{-1} \quad (8)$$

или с точностью до  $\mu^2$

$$k_\psi(u_d) = [1 - \rho(u_d)] \left[ 1 + \rho(u_d) \right]^{-1}. \quad (9)$$

Формально эти выражения совпадают с функцией фазового контраста, полученной одним из авторов при анализе изображения в компьютерном фазовом микроскопе. Было показано, что для точечных  $(d/d\rho)_{min} \approx (S/N)^{-1/2}$  и для протяженных  $(d/d\rho)_{min} = (SN)_\psi^{-1}$  объектов минимальное разрешаемое расстояние  $d_{min}$  уменьшается с увеличением отношения сигнал/шум. Из этого следует вывод о возможности реализации в КПМ (также как и в компьютерном фазовом микроскопе (КФМ)) сверхрелеевского разрешения  $d \ll d_p$ .

#### Список литературы

- [1] Шутов А. // ОМП. 1985. Т. 11. С. 52.
- [2] Аззам Р., Башара Н. Эллипсометрия и поляризованный свет. М.: Мир, 1981. С. 301-303.
- [3] Баргуля В.И., Бетеров И.М., Дмитриева Н.И., Чеботарев В.П. // Оптика и спектроскопия. 1984. Т. 56. № 1. С. 7-10.
- [4] Ohtsuka K. // Ap. Opt. 1988. V. 27. N 6. P. 1179.
- [5] Urbanczyk // Ap. Opt. 1988. V. 27. N 5. P. 973.
- [6] Adachi M., Mikii H., Nakai Y. // Opt. Lett. 1987. V. 12. N 10. P. 792.
- [7] Carlsson K., Aslund N. // Ap. Opt. 1987. V. 26. N 16. P. 3232.
- [8] Тычинский В.П., Евтихьев Н.Н., Захаров В.П., Снежко Ю.А. // Измерительная техника. 1977. № 12.
- [9] Гудмен Дж. Введение в Фурье-оптику. М.: Мир, 1970. с. 34-38.

Московский институт  
радиотехники, электроники  
и автоматики

Поступило в Редакцию  
29 января 1989 г.